

砂の X-Y シンブルシア試験

神戸大学工学部 正員 の軽部大蔵
神戸大学工学部 福岡良式

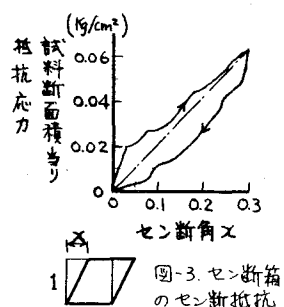
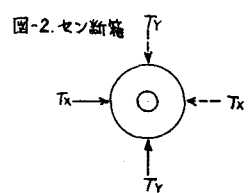
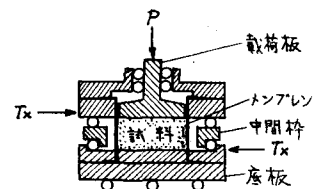
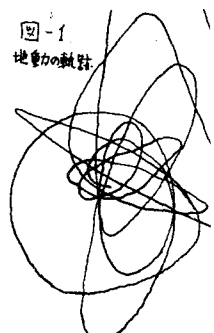
まえがき ゆるい飽和砂層の液状化現象は、これまで多くの室内試験によって定性的にたしかめられているばかりでなく、定量的にも論じられていく。ところで、この定量的研究にとっては、室内試験条件が現地の振動状況に本質的に似ているかどうかが重要な問題であろう。図-1は、LOS ANGELES地震の際にある地表の水平面上に記録された地動の軌跡である¹⁾。この記録から土要素が受けたセン断ヒズミの軌跡を推定することはできないか、ともかく従来行なわれて、室内試験のように変位軌跡が一直線上を往復するという単純なものではないことは想像に難くない。筆者らは、その軌跡が面積を持つようなセン断変位を試料に与えられる X-Y シンブルシア試験機を試作し、予備的な実験をおこなつた。

1. 試験機の概要 試料容器の構造は NGI型シンブルシア試験機にならって、ピアノ線のコイルを封入したゴム製のいわゆる レインフォースドメッシュフレンである。適用供試体の高さは約 2cm、直径は 6cm である。メンブレンの上端から載荷板が貫入しているが、この載荷板は図-2に示すように、底板に対して上下左右だけでなく、紙面に直角の方向にも移動でき、それぞれの成分の移動に要する力がパルセシングリングで計測されるように作られている。相対変位に伴なうセン断箱の機械的摩擦を軽減するために、変位部はすべてボールベアリング構造になっている。

2. 予備試験、a 試料容器のふくらみ 気乾状態の豊浦標準砂の一次元圧縮試験を試作機および固定リング式圧密容器で行なつて比較したところ、試作機による砂の見かけの圧縮率は固定リングによるそれに比べて約 2 倍であった。

2b セン断箱のセン断抵抗 図-3は、セン断箱に載荷板をつけて、試料を入れないで往復セン断した場合のセン断抵抗を示している。セン断の向きがかかるごとに大きな抵抗を示すため、変位～抵抗関係はヒステレシスループを描く。以下の実験における補正値はループの対角線を用いている。

2c 一方向セン断試験によるセン断強度 図-4は、気乾状態の豊浦標準砂を用いて、垂直荷重一定のセン断試験を行なつた結果を示している。破壊線が直線であるとすると、 $\epsilon_0 \approx 0.97$ のとき、 $c' = 0.025 \text{ kg/cm}^2$ 、 $\phi' = 32.4^\circ$ である。一方飽和豊浦砂の三軸圧縮試験結果から導いた実験式²⁾に、 $\sigma'_3 = 1 \text{ kg/cm}^2$ 、 $\epsilon_0 = 0.97$ を入れると $\phi' = 36.2^\circ$ となり、破壊包絡線は少し上に凸である。試作機による



破壊線が見かけのCを持つのは、破壊線が本来上に凸なので、試験機の欠陥によるためなのではないかとところ不明である。ただし、切片値のうち、 0.01 kg/cm^2 分は載荷板の自重とダイヤルゲージの圧力を無視したためとわかっている。

3. 変位軌跡と体積圧縮量の関係

液状化を調べるには等体積試験が適当であるが、試験機においては $2a$ で述べた容器のふくらみの問題が未解決であるので、とりあえず乾燥砂の定荷重試験をおこなった。定荷重試験中の垂直ヒズミ（体積圧縮ヒズミ）の大小は、等体積試験中の間隙水圧発生の大小と同じ傾向を示すであろう。

試験に用いた変位軌跡（水平面上に投影）は図-5に示すような3種類である。（セン断方向の順序を○印でかこんだ数字で示した。）片振であらわした最大セン断角（図-3にセン断角を定義している）は、 $Z_M = 0.05, 0.075, 0.1, 0.15, 0.25$ とし、垂直荷重は 1 kg/cm^2 を中心とした。図-6は、XYセン断試験結果の一例である。変位振幅 Z_M が小さくなるほど試体はセン断方向のいかんにからめられず収縮しつづけること、またとえば、Y方向のセン断がはじまれば、X方向のセン断応力は急減すること（応力の測定にフルーピングクリップを用いていたために、クリップを止められなかつた。もしクリップが止められていたならば、セン断応力の減少割合はもっと大きいであろう。）などが図から読みとれる。

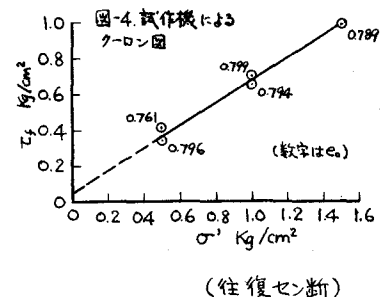
表-1は、 $Z_M = 0.1$ のときの垂直ヒズミ（体積圧縮ヒズミ）を示しているが、これによれば、往復セン断よりもXYセン断の方が大きさのヒズミを生じることがわかる。したがって、従来の室内三軸試験の結果より現地の条件の方が早く液状化をおこすであろうことが予想される。

（参考文献）

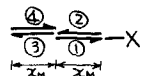
- 1) 土木研究会, LOS ANGELES地震, FILE 1
- 2) 玉井・苗村, 土のストレスフループテストについて, 第28回国土木学会全国大会, III-39

表-1. セン断中の垂直ヒズミ $\sigma = 1 \text{ kg/cm}^2$
(XYセン断) $Z_M = Y_M = 0.1$, (往復) $Z_M = 0.1$

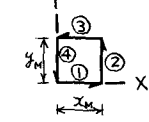
セン断形式	段階	e_0	垂直ヒズミ (%)
往復セン断	①→②	0.785	1.25
XYセン断	①…④	0.790	1.72
XY往復セン断	①…④	0.793	1.30



(往復セン断)



(XYセン断)



(XY往復セン断)

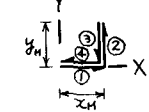


図-5. セン断形式

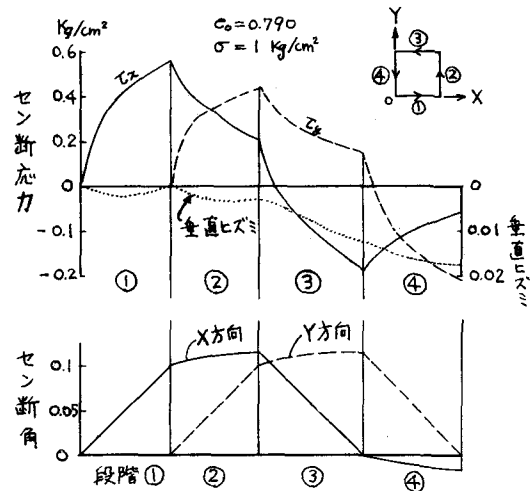


図-6. XYシンプレシアによる応力-ヒズミ曲線